

اعمال منطق فازی بر روی روبات تعمیر نیروگاه های هسته ای

سید کمال الدین موسوی مشهدی^{*}، امیر ترابی[†]، جمال قبادی دیزج یکان[‡]

چکیده

امروزه استفاده از روبات ها در صنعت بصورت چشم گیری افزایش یافته است. از جمله صنایعی که به دلیل مخاطرات موجود در آن، به استفاده از روبات ها توجه زیادی شده است، صنایع هسته ای می باشد. علت این امر را می توان جلوگیری از تماس مستقیم فرد با تشعشعات هسته ای بیان نمود. تاکنون برای کنترل نمودن این ربات ها از روش های کنترلی تناسبی^۱، مشتقی^۲ و انتگرالی^۳ موسوم به PID استفاده شده است. این کنترل کننده به دلیل محدودیت های موجود در آن امر کنترل را در برخی از پروسه های پیچیده با محدودیت رو برو کرده است. در این مقاله برای کنترل پروسه به جای کنترل کننده PID از کنترل کننده فازی استفاده شده است. خروجی شبیه سازی شده را برای اثبات برتری کنترل کننده فازی نسبت به مشابه PID نمایش داده ایم. در ادامه مقاله کنترل کننده فازی بر اساس مدل رگرسیون مورد بررسی قرار گرفته شده است و شبیه سازی آن هم در بخش مربوطه به نمایش گذاشته شده است.

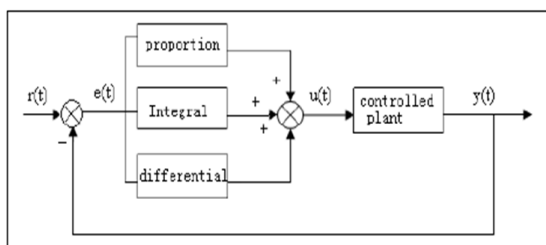
واژه های کلیدی

روبات هسته ای، رگرسیون، کنترل کننده فازی، کنترل کننده PID، منطق فازی

* دانشکده مهندسی برق دانشگاه علم و صنعت ایران. Sk_Mousavi@iust.ac.ir

† موسسه آموزش عالی خراسان مشهد، Amirtorabi1@gmail.com

‡ موسسه آموزش عالی خراسان مشهد، Jamal_ghobadi@yahoo.com



شکل ۱: خروجی کنترل کننده های مرسوم [2]

از شکل ۱ خروجی کنترل کننده $u(t)$ با صورت زیر محاسبه می گردد:

$$u(t) = K_p e(t) + \frac{1}{T_i} \int_0^t e(t) dt + T_d \cdot \frac{de(t)}{dt} \quad (1)$$

۱- بخش تناسبی که برای بهبود سیگنال خطای استفاده می گردد.

۲- بخش انتگرالی که خطای حالت دائمی را کاهش می دهد. (جبران ساز پایین گذربه وسیله انتگرال گیر)

۳- بخش مشتق گیر که خطای حالت گذرا را کاهش می دهد. (جبران ساز بالا گذر به وسیله مشتق گیر) [1]

خطای کنترلر PID همچنان که می دانیم به صورت زیر محاسبه می شود:

$$e(t) = r(t) - y(t) \quad (2)$$

که در آن $e(t)$ برابر خطای مطلوب و $y(t)$ مقدار خروجی می باشد.

۳- ساختار فازی

طراحی کنترل کننده فازی بر اساس تجربه های کاری شکل می گیرد. در موارد بسیاری که مسئله توسط روش های سنتی حل نمی شود از تکنولوژی فازی استفاده می شود. تکنولوژی فازی به جهت آنکه روابط ریاضی پیچیده ای ندارد برای کنترل سیستم های غیر خطی، سیستم های غیر خطی و سیستم های دارای اغتشاشات زیاد عملکرد مناسبی دارد.

۱- مقدمه

باتوجه به استفاده از ترکیبات مختلف اورانیوم و مواد سمی در تاسیسات چرخه سوخت هسته ای لازم است کلیه ملاحظات اینمنی در مرحله طراحی درنظر گرفته شود تا از وقوع حوادث جلوگیری گردد. از آنجایی که تاسیسات چرخه ای سوخت هسته ای در دسته تاسیسات شیمیایی طبقه بندی می شود، نکات اینمنی آن مشابه سایر تاسیسات شیمیایی می باشد. بدینهی است کارکنان مشغول در این تاسیسات به واسطه امکان نشت مواد سمی، همواره در معرض خطر قرار دارند. [13]

یکی از راه هایی که بوسیله آن می توان خطرات تماس افراد را با نقاط وسازه های آلوده کاهش داد استفاده از روبات به جای انسان در این تاسیسات می باشد. روبات ها اکنون در بسیاری از مصارف صنعتی مورد استفاده قرار می گیرند. امروزه با پیشرفت صنعت در بسیاری از عرصه ها نیازمند دریافت جواب سریع و دقیق از روبات ها می باشیم، که روبات های سابق به دلایل مختلف از جمله استفاده از کنترلر PID به دلیل وجود لختی در آن در برخی موارد قادر به برآوردن این نیاز نیست در این مقاله برای رفع این مشکل ضمن ارائه مقدماتی از منطق فازی و نیز کنترلر PID به تشریح کامل کنترلر فازی و مزایای ان بر PID با استناد بر شبیه سازی می پردازیم.

۲- کنترل کننده PID

کنترل کننده های PID امروزه بصورت گسترده در بسیاری از مصارف صنعتی مورد استفاده قرار می گیرد و در اکثر موارد هم دارای پاسخ قابل قبول می باشد. این کنترل کننده دارای سه بخش تناسبی، انتگرالی و مشتقی می باشد. در زیر نمایش بلوک دیاگرام آن نشان داده شده است.

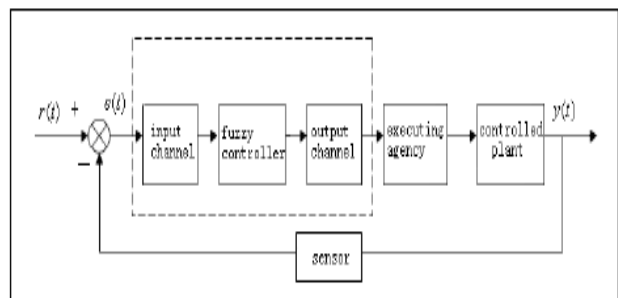
۴- روبات فازی

از جمله مباحثی که در علم رباتیک بسیار مورد توجه قرار می‌گیرد، کنترل ربات مخصوصاً به منظور تعقیب مسیرهای از پیش طراحی شده است.

به لحاظ پیچیدگی ساختار و دینامیک غیرخطی، و به دلیل وجود اصطکاک استاتیکی و گشتاورهای اغتشاشی و تغییرات شدید پارامترهای مدل ربات و همچنین امکان انجام کار در شرایط مختلف و مسیرهای متفاوت، کنترل ربات امری بس پیچیده و دشوار است. از این رو روش‌های کنترلی متفاوتی ارائه گردیده که هر کدام دارای مزايا و معایي مخصوص به خود هستند. یکی از روش‌های کنترلی که طی دو دهه اخیر توسعه شگرفی را در کنترل سیستمهای پیچیده و غیرخطی داشته، کنترل فازی است. کنترل کننده‌های فازی دارای دو مزیت اساسی می‌باشند، یکی آنکه این کنترل کننده‌ها به مدل سیستم حساس نیستند و به چگونگی رابطه ورودی-خروجی سیستم تا حد زیادی غیر وابسته‌اند، و دیگر آنکه دارای ساختار بسیار ساده‌ای بوده و به سهولت قابل پیاده‌سازی اند. از آنجا که حرکات ربات‌های هوشمند در پیست مسابقه وابستگی بسیار شدیدی به نوع برنامه و نیز شرایط پیست دارد، لذا با تدوین قوانین بسیار دقیق فازی می‌توان از انحراف آنها جلوگیری نمود، بطوری که گوئی توسط انسان هدایت می‌شوند. از این رو تجربیات شخص از طریق منطق فازی جهت عملکردی نه منطقی تر بلکه شبه انسانی‌تر به ربات اعمال شده، که این همان چیزی است که بشر برای تکامل هوش مصنوعی در پی دارد.^[12],^[13]

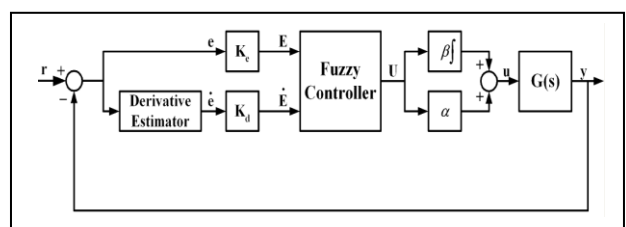
هم اکنون روباتی در حال ساخت است که بتواند کارهای خاص را در رآکتور هسته‌ای انجام دهد. این روبات که IRIS (Industrial Remote Inspection System) نام داردیک سیستم بازرسی همه منظوره است که می

ساختار اصلی سیستم کنترل فازی در در شکل ۲ نشان داده شده است. که دارای کanal ورودی، کنترل کننده فازی و کanal خروجی می‌باشد که در حقیقت هسته اصلی سیستم همان کنترل کننده فازی می‌باشد.^[2]



شکل ۲: ساختار اصلی کنترل کننده فازی [11]

ساختار کنترل کننده فازی که دارای دو ورودی و یک بانک قواعد می‌باشد در شکل ۳ نشان داده شده است. طراحی کنترل کننده فازی PID دارای دو قسمت است. بخش اول مربوط به تنظیم قسمت غیر خطی و بخش دوم مربوط به تنظیم ضرایب بر اساس قسمت خطی سیستم می‌باشد. قوائد اشاره شده در این مقاله باعث به دست اوردن خواص و مشخصات بهتر نسبت به ساختارهای فازی مرسوم شده است.^[7]

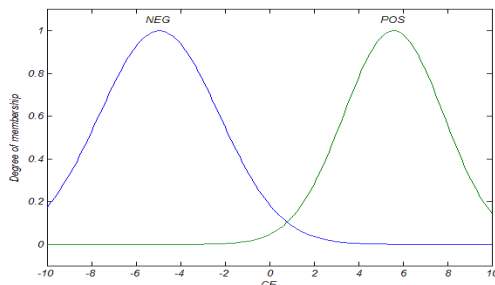


شکل ۳: ساختار کنترل فازی به همراه دو ورودی خطأ و تغییرات آن [2]

نسبت بین دو ورودی K_d و K_e و نسبت بین دو گین K_I و K_0 به عنوان β تعریف می‌شود.^[3] همانطور که ملاحظه می‌گردد کنترل کننده فازی در این مقاله دارای ضرایب بیشتری نسبت به کنترل کننده PID می‌باشد.

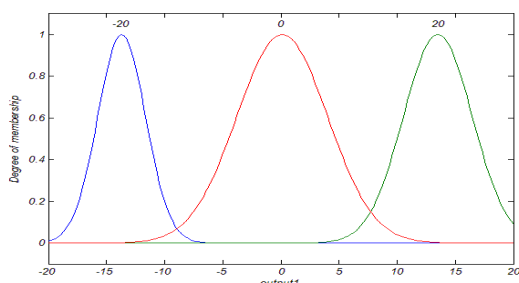
از آنجا که کنترل کننده‌های غیر خطی عملکرد غیر خطی دارند تنظیم پارامترهای آن نسبت به کنترل کننده PID مشکل تر است.^[6]

در شکل ۴ این ورودی ها که تقریباً "یکسان" نند آورده شده است. همانطور که مشاهده می‌گردد توابع عضویت ورودی و خروجی به شکل گوسی می‌باشد.



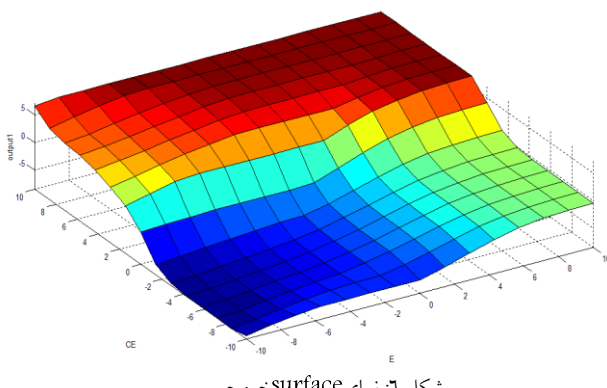
شکل ۴: توابع عضویت ورودی

و در نهایت توابع عضویت خروجی هم بصورت زیر می‌باشد. (شکل ۵)



شکل ۵: توابع عضویت خروجی

آخرین بخش قسمت فازی نمایش سطح surface این کنترل کننده می‌باشد که در شکل ۶ نشان داده شده است. لازم به ذکر است توابع عضویت فوق برای نشان دادن z-zیر مورد تغییر قرار گرفته اند. surface



شکل ۶: نمایی خروجی surface

تواند عملیات وارسی خاصی را با انگیزه کم کردن زمان در معرض تابش قرار گرفتن انسان‌ها انجام دهد.

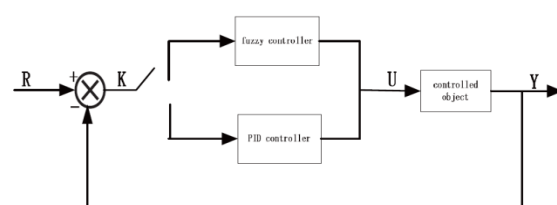
کاربردهای روبات در تعمیر و نگهداری نیروگاه‌های هسته‌ای پیشرفت‌های زیادی داشته است. تاکنون این کاربرد‌ها عمدها در بازپردازش سوخت و حمل و نقل زباله‌ها بوده است. اکنون کاربرد روبات‌ها در بررسی آلودگی، تعمیر راکتور، زدودن آلاینده‌ها و فعالیت‌های اضطراری شروع شده است. [5].

این پیشرفت‌های امکان کاربردوسائل کنترل از دور برای کاهش زمان در معرض تابش قرار گرفتن انسان‌ها و بهبود برنامه‌های تعمیر و نگهداری را فراهم کرده است. [4]

۵- قواعد فازی

همانطور که می‌دانیم تا خیر در سیستم‌های کنترلی و کنترل کننده‌های PID اثر بسیار نامطلوبی بر جای می‌گذارد. نوع سیستم به لحاظ مکانیکی در این روبات به گونه‌ای طراحی شده است که نه تنها در مسیر مستقیم بلکه در مسیر فید بک هم دارای تاخیر می‌باشد.

عامل فوق باعث می‌شود که کنترل کننده‌های مرسوم در برابر کنترل این پروسه ناتوان باشند. لذا در این حالت (با توجه به موارد یاد شده در فوق)، که زمان استفاده از کنترل کننده فازی را مشخص می‌کرد) بهترین گزینه را در استفاده از کنترل کننده‌های فازی می‌بینیم.



شکل ۷: گلید هیبرید برای انتخاب آزادانه کنترل کننده فازی یا PID [10]

همانطور که می‌دانیم برای فازی سازی نیازمند ورودی‌ها و خروجی‌هایی می‌باشیم که همانطور که اشاره شد ورودی‌ها شامل $e(t)$ و $\dot{e}(t)$ می‌باشد.

بین این دو حد، بیانگر اطمینان تخمین است. به عبارت دیگر مدل های رایج رگرسیون، ساختار احتمالی دارند. در حالی که در رگرسیون فازی، اختلاف بین مقادیر پیش بینی و مشاهده شده ناشی از ابهام ذاتی درسیستم است. مقدار خروجی برای ورودی های مشخص دامنه مقادیر ممکن فرض می شود. بنابراین در رگرسیون فازی، امکان پذیرش مقدار خروجی با توجه به مقادیر متغیرهای ورودی بررسی می شوند. یک مدل عمومی رگرسیون خطی فازی به شرح زیر است:

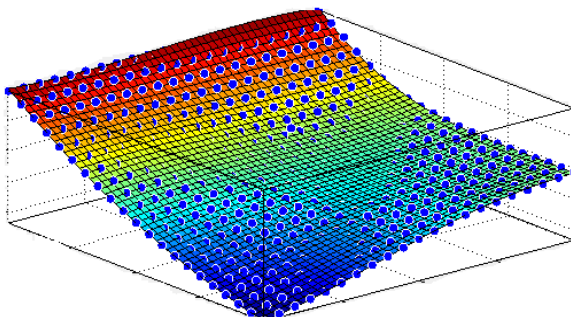
$$\tilde{Y} = f(x, \tilde{A}) = \tilde{A}_1 x_1 + \dots + \tilde{A}_n x_n \quad (5)$$

به طوری که \tilde{A}_i عدد فازی i امین است.

رگرسیون فازی یک دامنه مقادیر ممکن را با یکتابع عضویت پیش بینی می کند. توابع عضویت با تخصیص درجه های عضویت مشخص، به مقادیر پیش بینی شده شکل می گیرند. همچنین توابع عضویت برای ضرایب متغیرهای مستقل نیز تعریف می شوند.

۶- نتایج رگرسیون فازی کنترلر فازی:

در شکل ۸ براساس موارد ذکر شده در مورد رگرسیون، کنترلر فازی نشان داده شده است. surface



شکل ۸: نمای مربوط به رگرسیون فازی surface

تابع عضویت متغیر خروجی رگرسیون به صورت ذیل به دست می آید:

$$\tilde{Y}_\mu(y) = \begin{cases} \max(\min_i(\mu_{\tilde{A}}(\alpha)), \{a|y = f(x, y)\}) \\ 0 \quad \text{otherwise} \end{cases} \quad (6)$$

۶- رگرسیون:

اگرچه مدل رگرسیون خطی کلاسیک کاربردهای بسیار زیادی دارد، ممتدانه مشکلاتی نیز در استفاده از این مدل مثل بی دقتی و خطأ با فرض خطی بودن، ابهام در رابطه بین متغیرهای ورودی و خروجی، ابهام در موقعیت یا درجه و قوع رویدادها و... می تواند ایجاد شود، بنابراین تحلیل رگرسیون آماری می تواند مشکل ساز باشد. لذا این شرایط ما را به سمت استفاده از تحلیل رگرسیون فازی سوق می دهد.

۷- مدل رگرسیون فازی کنترل کننده

تحلیل رگرسیون با مدل کردن رابطه بین متغیرهای وابسته و متغیرهای مستقل جهت پیش بینی مقادیر متغیرهای وابسته بر اساس متغیرهای مستقل بکار می رود. در تحلیل رگرسیون متغیر وابسته (y) تابعی از متغیرهای مستقل است و درجه مشارکت یا نقش هر متغیر مستقل در خروجی (متغیر وابسته) توسط ضرایب متغیرها بیان می شود. مدل رگرسیون بر اساس داده های جمع آوری شده و مشاهدات ساخته می شود که مدل عمومی واستاندارد رگرسیون خطی در حالت کلاسیک بصورت زیر است:

$$y_i = \alpha_0 + \alpha_1 x_{i1} + \dots + \alpha_n x_{in} + \varepsilon_i \quad (3)$$

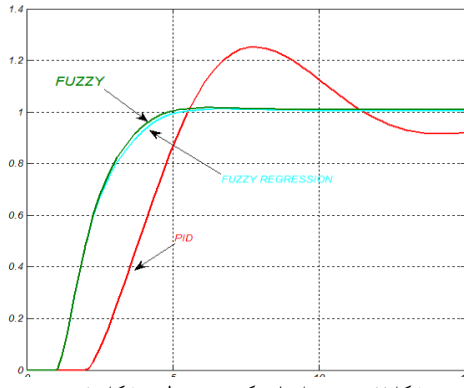
به طوری که متغیر وابسته (y_i)، متغیرهای مستقل (X_{ij}) و پارامترهای مدل مستقل (α_i)، مقادیر قطعی هستند و همین طور ε_i خطای تصادفی مدل رگرسیون است بطوری که:

$$\begin{aligned} E(\varepsilon_i) &= 0 \\ V(\varepsilon_i) &= \delta^2 \end{aligned} \quad (4)$$

۸- مدل رگرسیون فازی

در روش های رایج رگرسیون، تفاوت بین مقادیر مشاهده شده و مقادیر پیش بینی شده توسط مدل، خطای پیش بینی بوده و یک متغیر تصادفی فرض می شود. حد بالا و حد پایین مقدار محاسبه شده و احتمال قرار گرفتن مقدار پیش بینی در

نشان می دهد و منحنی که به رنگ نیلی است مربوط به مدل فازی رگرسیون می باشد.



شکل ۷- خروجی اسیلوسکوپ مربوط به شکل ۸

۱۱- نتیجه گیری

در این مقاله سعی بر آن نمودیم که منطق فازی را بر روی روبات های فعال در نیروگاه های هسته ای که کمتر از این منطق پر کاربرد بهره جسته اند پیاده سازی کنیم. گرچه این روبات همانطور که در شکل نشان داده شده دارای دو تاخیر در مسیر رفت و فید بک بوده است ولی پاسخ فازی بسیار مطلوبی (بدون اورشوت و تاخیر کمتر در شروع نسبت به کنترل کننده مشابه PID) می باشد که دو مزیت ذکر شده در کار حساسی چون نیروگاه هسته ای بسیار مورد توجه قرار گرفته و مطلوب است.

مراجع:

- [1] IsinErenoglu,& Ibrahim Eksin an intelligent hybrid fuzzy PID controller proceedings 20th European conference on modeling ,Alessandra Orsoni,5,2006
- [2] OnurKARASAKAL&Turk J ElecEngin, Implementation of a New Self-Tuning Fuzzy PID Controller on PLC , , VOL.13, TURKEY, NO.2 2005,
- [4] R.C. Dorf, the encyclopediaof robotics john wiley& sons ,new York ,1988
- [5] K. Ogata, modern control systems, Prentice Hall, .9thed .2001
- [6] Jan Jantzen ,Tuning of Fuzzy PID, Controllers Technical University of Denmark, Department of Automation,30 Sep 1998
- [7] Man, and Cybernetics ,Analysis of Direct Action Fuzzy PID Controller Structures,IEEE Trancctions on systems june 1999
- [8] Y Yang,Jinan A New Type of Adaptive Fuzzy PID controller, IEEE China2010,

پارامترهای فازی \tilde{A} می توانند به صورت بردار $\tilde{A} = \{p, c\}$ نشان داده شوند بطوریکه داریم:

$$\begin{aligned} P &= (P_1, P_2, P_3, \dots, P_n) \\ C &= (C_1, C_2, \dots, C_n) \end{aligned} \quad (7)$$

با جایگذاری معادلات (۶) در (۷) خواهیم داشت:

$$\mu_{\tilde{Y}(Y)} = \begin{cases} 1 - \frac{|y - \sum_{i=1}^n p_i x_i|}{\sum_{i=1}^n c_i |x_i|} & x_i \neq 0, y = 0 \\ 1 & x_i = 0, y = 0 \\ 0 & x_i = 0, y \neq 0 \end{cases} \quad (8)$$

معادله خطی مربوط به این کنترلر عبارتست از:

$$F(X, Y) = P_0 + P_1 X + P_2 Y + P_3 X^2 + P_4 X \times Y + P_5 Y^2 \quad (9)$$

مقادیر عددی ضرایب فوق عبارتند از:

$$P_0 = -2.274$$

$$P_1 = 0.7739$$

$$P_2 = 2.943$$

$$P_3 = -0.59$$

$$P_4 = -1.291$$

$$P_5 = 1.196$$

لازم به ذکر است در مدل فوق ضرایب X و Y هردو تا توان دو مورد بررسی و شبیه سازی قرار گرفته اند.

در نهایت خطاهای (R-square) میانگین مربع ریشه ها) و RMSE (انحراف معیار) عبارتند از:

$$R\text{ square} = 0.8848$$

$$RMSE = 0.6855$$

۱۰- نتایج شبیه سازی:

کنترل کننده ای که برای این سیستم در حالت PID درنظر گرفته شده است به صورت زیر است:

$$G_C(S) = \frac{S+1}{S+0.05}$$

لازم به ذکر است شبیه سازی های انجام شده در شکل ۷- خروجی مطلب و simulink در محیط مطلب و انجام گرفته است. در شکل ۷- خروجی این سیستم به ازای کنترل کننده فازی و PID نشان داده شده است. منحنی قرمز رنگ خروجی را به ازای کنترل کننده PID و منحنی سبز به ازای کنترلر فازی

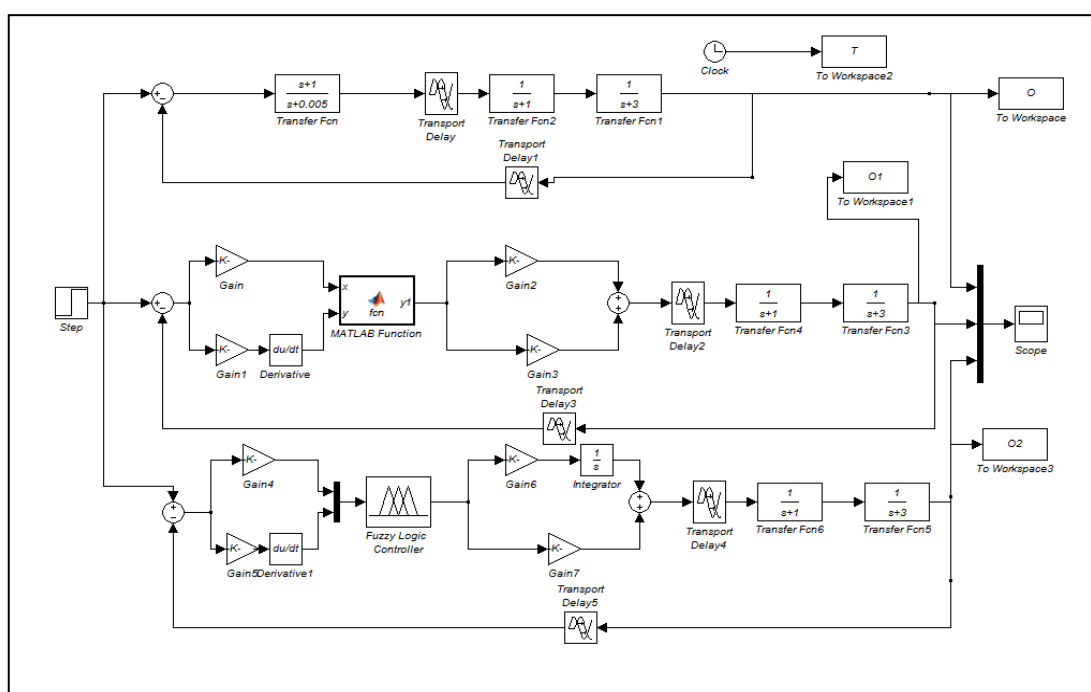
[۱۱] بارت کاسکو، تفکر فازی ، ترجمه علیرضا پورممتاز ، علی اکبر غفاری صفت ، عادل مقصودپور، جمشید قسمی ، ناشر: دانشگاه صنعتی خواجه نصیرالدین طوسی

[۱۲] بی نام، پایان نامه ربات خط یاب با کنترل فازی، پایان نامه کارشناسی / کارشناسی ارشد

[۱۳] آرمین طاهری و احمد فردیونی، مجله مدیریت اینمنی و مهندسی هسته ای شرکت متasa، جوانب اینمنی در تاسیسات هسته ای، سال هفتم شماره ۲۶

[۹] Hui Wang & Yuanyuan Bao & H Wang Fuzzy-PID Dual Mode Fuzzy Control Of The Electro-hydraulic Deviation Control System., College of Mechanical Engineering, IEEE 2010

[۱۰] Yanhong Zhang, Zhongqiao Zheng, Jiansheng Zhang ,Research on the parameters self-tuning fuzzy PID controller.1. School of Electronic Information IEEE – 2009



شکل ۸: شبیه سازی کنترل کننده روبات در سه حالت فازی و PID و رگرسیون فازی

¹ proportional
²derivative
³integral